

## まさ工斜面の雨水浸透時における安定性

広島大学  
正員 綱千寿夫  
計測リサーチコンサルタント 正員 ○花倉宏司  
中國電力 中國電力 今岡守則

## I まえがき

集中豪雨による表層着落型の斜面崩壊が多発し、その予測手法の開発は急務となっている。この表層着落型の崩壊とは、表層土壌の確認と、降雨水がノリ面に集まり表層土内に蓄積するかどうか、安定度予測の大きさを知りうる。本研究は、鉛直浸透実験から飽和度の上昇、間隙圧変化の測定結果を示し、それらがどのように斜面の安定性に影響を及ぼすかを検討し、考察したものである。

## II 試料及び実験方法

実験に使用した試料はまさ土で、均等係数は35.7、比重2.65である。実験装置は、図1のようないわゆる内径29cm、高さ150cmの専用アクリル円筒に、10cm間隔ごとに電極を設置する孔を取り付けてあるものを使用し、降雨はノズルによりて蓄水した。実験の斜面は比較的緩やかな表層部とそれ以後の弱風化層からなり、その境界面が不連続面となっていることが多いため、土壌下部85cmにはね=1.6%<sup>2</sup>、上部55cmにはね=14%<sup>3</sup>の2層に試料を詰め浸透実験を行った。飽和度測定は電気抵抗式水分計を使用し、間隙圧は内径3mmのチューブの先端を金網ごとあわしたものと試料内に挿入し、他端をマノメーターにて測定した。実験条件としては、図2のように初期含水比、降雨時間間隔を変えた。

## III 実験結果と考察

図3は、各ケースについての浸透面の進行状況を示したものである。ケース1、2、3は初期含水比の異なる基準降雨であるが、浸透面の進行状況はケース1が最も遅く、ケース2、3と速くなっている。先行降雨により地盤の飽和度が高いと浸透は速くなることが伺える。次に図4は、間隙圧の時間的变化を示したものである。浸透初期から徐々に間隙圧は上昇するが、圧縮された空気が土壌上端から排出されると、一時に間隙圧が低下する。そして降雨開始160分後から間隙圧は急上昇する。この時間は、浸透面が上層と下層境界面に達した時間である。この時間は、浸透面が上層と下層境界面に達した時間である。間隙は連続しているので、下層の間隙圧は深さによる差が少ないので対し、上層では浸透水が不連続面にたまることで、地下水水面が形成されるため、間隙圧の静水圧の近くまで上昇するこ

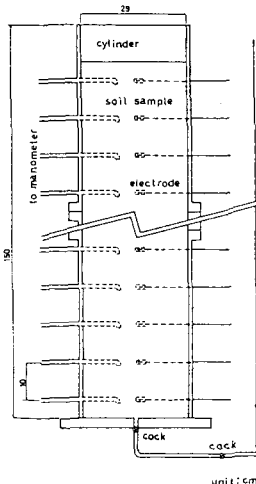


図1 実験装置

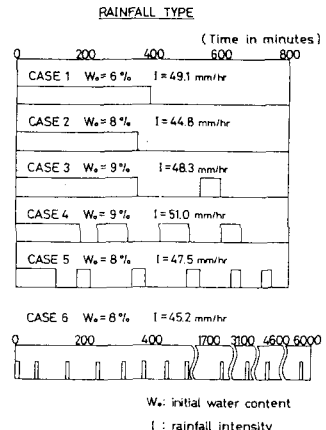


図2 実験条件

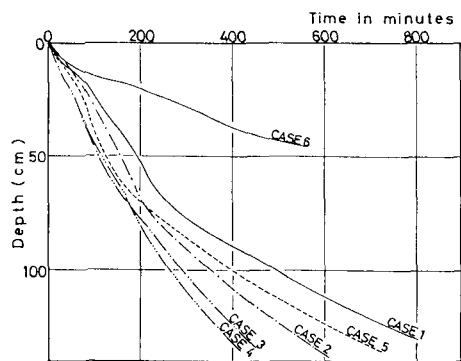


図3 浸透面の進行状況

思われる。一方図に示してはいないが、透水がなくなりはじめると同時に間隙圧の消散過程は、浸透面の進行状況によりかなり複雑になるのではないかと思われる。図5は、土中の浸透について不飽和帯と水と空気の二相系として、Darcy則を適用した浸透方程式より求めた各時間における飽和度分布(破線)と実験値(実線)を示した。これより、若干理論値がよくれているが実験値とほぼ一致していることがわかる。また降雨停止後に浸透層上部より下部に水が移動する、水の再配分過程や、地下水面上昇過程についても検討されている。浸透後の飽和度は80%前後で一定となり、未浸透部と既浸透部との飽和度の差が大きくなっている。図6は、各時間における間隙圧分布(実線)と、土中の単位断面積に働く力のつりあいより求めた計算値(破線)を示した。計算値は飽和度分布より地下水面上昇位置を推定した。計算値は実験値とかなり一致傾向を示した。ただし底部において閉塞された空気が圧縮されるための間隙圧の上昇に差がある。

降雨に伴う浸透面の下降、自重の増加、間隙圧の発生を考慮して実験と同一条件の浸透角25°の半無限斜面を考え、斜面の安定計算を行った。図7にその結果を示す。降雨初期には、浸透率とともに安全率は低下するが、不透水面が形成される地下水面上昇に伴い、安全率は大きく低下する。不透水面によって形成される地下水面上昇が、斜面崩壊の要因となる。

#### まとめ

以上得られた結果をまとめると以下のようになる。

1. 表層と飽和水層の境界から地下水面上昇が形成される。
  2. 先行降雨特性が浸透面の進行状況や安全率の低下に大きく影響する。
  3. 地下水面の上昇が斜面の不安定化を助長する。
- しかし、本解析にはいくつもの仮定があり、浸透面の対応性を考慮して、斜面の経時変化を考える必要がある。

#### 参考文献

- 1) 松尾、上野：破壊確率を用いた自然災害の発生予測に関する研究：工木学会論文集第16, 281
- 2) 酒井、木村：雨水浸透による地盤内間隙圧と斜面安定：工木学会論文集第16, 262

CASE 3

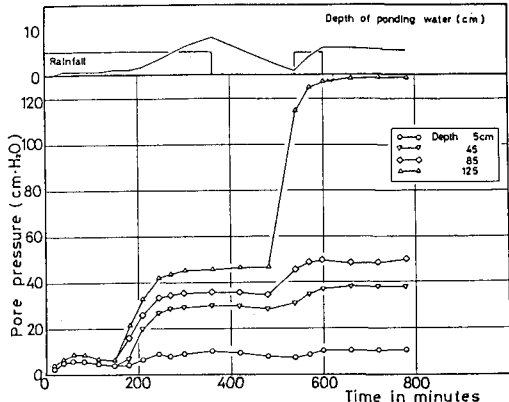


図4 間隙圧の時間的変化

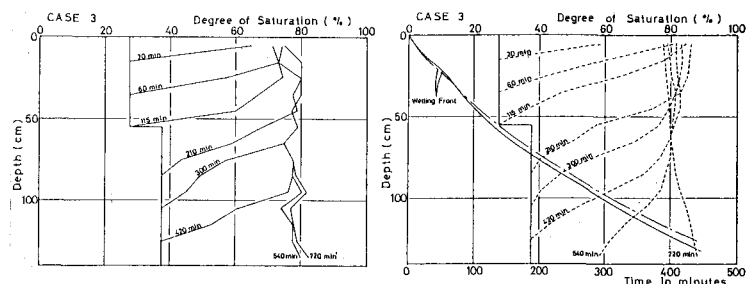


図5 飽和度分布

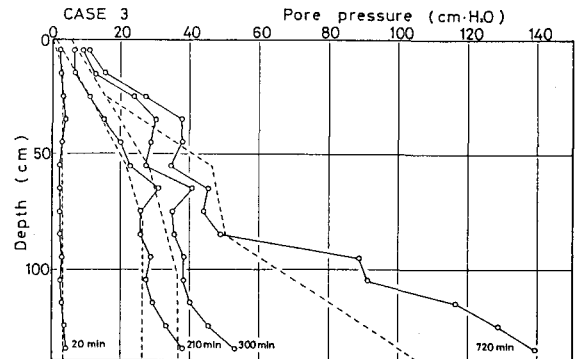


図6 間隙圧分布

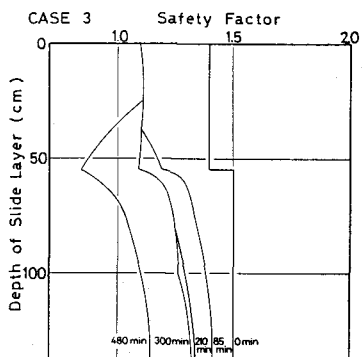


図7 経過時間と安全率